

3. Костров Б. В. Дифракция плоской волны на жестком клине, вставленном без трения в бесграничную упругую среду.— ПММ, 1966, т. 30, № 1.
4. Афанасьев Е. Ф. Некоторые однородные решения динамической теории упругости.— В кн.: Механика сплошной среды и родственные проблемы анализа. М., «Наука», 1972.
5. Broberg K. B. The propagation of a brittle crack.— «Arkiv Fysik», 1960, vol. 18, N 2, p. 159—192.
6. Лаврентьев М. А., Шабат Б. В. Методы теории функций комплексного переменного. М., Физматгиз, 1966.
7. Костров Б. В. Распространение трещин с переменной скоростью.— ПММ, 1974, т. 38, № 3.

УДК 539.374

УПРУГОПЛАСТИЧЕСКАЯ ЗАДАЧА ДЛЯ ТОНКОЙ ПЛАСТИНЫ, ОСЛАБЛЕННОЙ ПЕРИОДИЧЕСКОЙ СИСТЕМОЙ КРУГЛЫХ ОТВЕРСТИЙ

B. M. Мирсалимов

(Липецк)

Задача теории упругости для пластины, ослабленной периодической системой отверстий, рассматривалась в ряде работ [1, 2]. С увеличением напряжений в пластине возле отверстий возникают пластические зоны. Расположение пластических областей носит периодический характер. Упругопластическая задача для тонкой пластины с одиничным отверстием решена в [3]. Периодическим упругопластическим задачам для тонкой пластины посвящен ряд работ [4, 5], в [4] для решения задачи использовался способ аппроксимации функции напряжений в пластической области бигармонической функцией. В отличие от работ [4, 5], где использовался метод возмущений, для решения упругопластической задачи применяется другой метод, позволяющий получать решение при любых относительных размерах области.

Пусть имеется пластина с одинаковыми круговыми отверстиями, имеющими радиус $R (R < 1)$ и центры в точках

$$P_m = m\omega, \quad (m = 0, \pm 1, \pm 2, \dots), \quad \omega = 2.$$

Обозначим контур отверстия с центром в точке P_m через L_m , соответствующую упругопластическую границу через Γ_m , а внешность контуров Γ_m через D_z . К контру отверстия L_m приложена постоянная нормальная нагрузка $\sigma_r = p$ и равная нулю касательная, составляющая $\tau_{r\theta} = 0$ (r, θ — полярные координаты), а в пластине имеют место постоянные средние напряжения $\sigma_x = \sigma_x^\infty$, $\sigma_y = \sigma_y^\infty$, $\tau_{xy} = 0$ (растяжение на бесконечности).

В качестве условия пластичности принимается условие Треска—Сен-Венана и предполагается, что в пластической области выполняется неравенство $\sigma_\theta \geq \sigma_r > 0$. Характеристики в пластической зоне будут радиальными прямыми, а напряжения равны [6]

$$(1) \quad \sigma_r = \sigma_s + (p - \sigma_s)R/r, \quad \sigma_\theta = \sigma_s, \quad \tau_{r\theta} = 0.$$

Здесь σ_s — предел текучести материала при простом растяжении. Для выполнения неравенства $\sigma_\theta \geq \sigma_r > 0$ нагрузка, очевидно, должна удовлетворять условию $p \leq \sigma_s$.

В упругой области напряжения определяются по формулам Колосова—Мусхелишвили [7]

$$(2) \quad \begin{aligned} \sigma_r + \sigma_\theta &= 4 \operatorname{Re} \Phi(z), \\ \sigma_\theta - \sigma_r + 2i\tau_{r\theta} &= 2[z\Phi'(z) + \Psi(z)]e^{2i\theta}. \end{aligned}$$

На неизвестном контуре Γ_m , разделяющем упругую и пластическую области, все напряжения непрерывны. Используя (1), (2), получим на контуре Γ_m условия

$$\begin{aligned} 4 \operatorname{Re} \Phi(z) &= 2\sigma_s + R(p - \sigma_s)/r; \\ z\Phi'(z) + \Psi(z) &= R(\sigma_s - p)/2r]e^{-2i\theta}. \end{aligned}$$

Перейдем на параметрическую плоскость ζ с помощью преобразования $z = \omega(\zeta)$. Аналитическая функция $z = \omega(\zeta)$ осуществляет конформное отображение области D_z на область D_ζ в плоскости ζ , являющуюся внешностью окружностей l_m радиуса λ , с центрами в точках P_m .

Для определения трех аналитических функций $\varphi(\zeta) = \Phi[\omega(\zeta)]$, $\psi(\zeta) = \Psi[\omega(\zeta)]$ и $\omega(\zeta)$ получаем величайшую краевую задачу на l_m

$$(3) \quad 4 \operatorname{Re} \varphi(\zeta) = 2\sigma_s + R(p - \sigma_s)/\sqrt{\omega(\zeta)\bar{\omega}(\zeta)};$$

$$(4) \quad \overline{\omega(\zeta)}/\omega'(\zeta)\varphi'(\zeta) + \psi(\zeta) = R(\sigma_s - p)\overline{\omega(\zeta)}/2\omega(\zeta)\sqrt{\omega(\zeta)\bar{\omega}(\zeta)}.$$

Искомые функции ищем в виде рядов

$$(5) \quad \varphi(\zeta) = \frac{\sigma_x^\infty + \sigma_y^\infty}{4} + \alpha_0 + \sum_{k=0}^{\infty} \alpha_{2k+2} \frac{\lambda^{2k+2} \rho^{(2k)}(\zeta)}{(2k+1)!};$$

$$(6) \quad \begin{aligned} \psi(\zeta) = \frac{\sigma_y^\infty - \sigma_x^\infty}{2} + \sum_{k=0}^{\infty} \beta_{2k+2} \frac{\lambda^{2k+2} \rho^{(2k)}(\zeta)}{(2k+1)!} - \\ - \sum_{i=0}^{\infty} \alpha_{2k+2} \frac{\lambda^{2k+2} s^{(2k+1)}(\zeta)}{(2k+1)!}; \end{aligned}$$

$$(7) \quad \omega(\zeta) = \zeta + \sum_{k=0}^{\infty} A_{2k+2} \frac{\lambda^{2k+2} \rho^{(2k+1)}(\zeta)}{(2k+1)!},$$

где

$$\begin{aligned} \rho(\zeta) &= \left(\frac{\pi}{\omega}\right)^2 \frac{1}{\sin^2\left(\frac{\pi}{\omega}\zeta\right)} - \frac{1}{3} \left(\frac{\pi}{\omega}\right)^2; \\ s(\zeta) &= \sum_m \left[\frac{P_m}{(\zeta - P_m)^2} - \frac{2\zeta}{P_m^2} - \frac{1}{P_m} \right] (m = 0, \pm 1, \pm 2, \dots). \end{aligned}$$

Штрих у суммы означает, что при суммировании исключается индекс $m = 0$. Приведем теперь зависимости, которым должны удовлетворять коэффициенты выражений (5)–(7). Из условий симметрии относительно координатных осей находим, что

$$\operatorname{Im} \alpha_{2k+2} = \operatorname{Im} \beta_{2k+2} = \operatorname{Im} A_{2k+2} = 0, k = 0, 1, 2, \dots$$

Из условия равенства нулю главного вектора сил, действующих на дугу, соединяющую две конгруэнтные точки в D_ζ , следует, что

$$\alpha_0 = (\pi^2/24)\beta_2\lambda^2.$$

В силу выполнения условий периодичности системы граничных условий (3), (4) на l_m ($m = 0, \pm 1, \pm 2, \dots$) заменяется двумя функциональными уравнениями, например, на контуре l_0 .

Для составления уравнений относительно остальных коэффициентов функций $\varphi(\zeta)$, $\psi(\zeta)$ и $\omega(\zeta)$ разложим эти функции в ряды Лорана в окрестности точки $\zeta = 0$

$$(8) \quad \varphi(\zeta) = \frac{1}{4} (\sigma_x^\infty + \sigma_y^\infty) + \alpha_0 + \sum_{k=0}^{\infty} \alpha_{2k+2} \frac{\lambda^{2k+2}}{\zeta^{2k+2}} +$$

$$+ \sum_{k=0}^{\infty} \alpha_{2k+2} \lambda^{2k+2} \sum_{j=0}^{\infty} r_{j,k} \zeta^{2j};$$

$$(9) \quad \psi(\zeta) = \frac{1}{2} (\sigma_y^\infty - \sigma_x^\infty) + \sum_{k=0}^{\infty} \beta_{2k+2} \frac{\lambda^{2k+2}}{\zeta^{2k+2}} +$$

$$+ \sum_{k=0}^{\infty} \beta_{2k+2} \lambda^{2k+2} \sum_{j=0}^{\infty} r_{j,k} \zeta^{2j} -$$

$$- \sum_{k=0}^{\infty} (2k+2) \alpha_{2k+2} \lambda^{2k+2} \sum_{j=0}^{\infty} (2j+2k+2) r_{j,k} \zeta^{2j};$$

$$(10) \quad \omega(\zeta) = \zeta - \sum_{k=0}^{\infty} A_{2k+2} \frac{\lambda^{2k+2}}{(2k+1)} \frac{1}{\zeta^{2k+1}} +$$

$$+ \sum_{k=0}^{\infty} A_{2k+2} \lambda^{2k+2} \sum_{j=0}^{\infty} \frac{r_{j,k} \zeta^{2j+1}}{(2j+1)},$$

$$r_{j,k} = \frac{(2j+2k+1)! g_{j+k+1}}{(2j)! (2k+1)! 2^{2j+2k+2}}, \quad g_{j+k+1} = 2 \sum_{m=1}^{\infty} \frac{1}{m^{2j+2k+2}}.$$

Разложив правые части (3), (4) в ряды Лорана, подставив в граничные условия (3), (4) на контуре l_0 ($\zeta = \lambda e^{i\theta}$) вместо $\varphi(\zeta)$, $\psi(\zeta)$ и $\omega(\zeta)$ их разложения (8)–(10) и сравнив коэффициенты при $e^{2ik\theta}$ ($k = 0, \pm 1, \pm 2, \dots$), получим бесконечную систему нелинейных алгебраических уравнений относительно α_{2k} , β_{2k} , A_{2k} . Ниже приводятся уравнения первого приближения

$$aX - a_1Y - A_2Z = B \left[kb + \frac{1}{2} (k_1 + k_2) b_1 \right],$$

$$aY - A_2X = B \left(\frac{1}{2} b_1 k + k_1 b \right),$$

$$aZ + a_1X = B \left(k_2 b + \frac{1}{2} b_1 k \right), \quad 2\alpha_2 (1 + \lambda^4 r_{1,0}) = -Bb_1,$$

$$\frac{1}{2} (\sigma_x^\infty + \sigma_y^\infty) - \sigma_s + 2(\alpha_0 + \alpha_2 \lambda^2 r_{0,0}) = -Bb,$$

$$\lambda^2 \left[d \left(b^2 + \frac{1}{2} b_1^2 \right) + 2d_1 b b_1 \right] = 1, \quad dbb_1 + d_1 \left(b^2 + \frac{1}{2} b_1^2 \right) = 0,$$

$$X = 2\alpha_2 A_2 + \frac{2}{3} \alpha_2 A_2 \lambda^8 r_{1,0}^2 + a\beta_2 + A_2 \beta_2 \lambda^4 r_{1,0} + A_2 \gamma_0,$$

$$Y = -2\alpha_2 a + a\beta_4 + A_2 \beta_2, \quad a = 1 + A_2 \lambda^2 r_{0,0},$$

$$Z = 2a\alpha_2 \lambda^4 r_{1,0} + a\gamma_0 + A_2 \gamma_1 + A_2 \beta_2 \lambda^4 r_{1,0},$$

$$a_1 = \frac{1}{3} A_2 \lambda^4 r_{1,0}, \quad B = \frac{1}{2} R (\sigma_s - p),$$

$$\begin{aligned}
 k &= a^2 - A_2^2 + \frac{1}{3} A_2^2 \lambda^8 r_{1,0}^2, \quad k_1 = a A_2 \left(1 + \frac{1}{3} \lambda^4 r_{1,0} \right), \\
 k_2 &= a A_2 (\lambda^4 r_{1,0} - 1), \quad d = a^2 + A_2^2 \left(1 + \frac{1}{9} r_{1,0}^2 \lambda^8 \right), \\
 d_1 &= -a A_2 \left(1 - \frac{1}{3} \lambda^4 r_{1,0} \right), \\
 \gamma_0 &= \frac{1}{2} (\sigma_x^\infty - \sigma_y^\infty) + \beta_2 \lambda^2 r_{0,0} + \beta_4 \lambda^4 r_{0,1} - 4 \alpha_2 \lambda^2 r_{0,0}, \\
 \gamma_1 &= \beta_2 \lambda^4 r_{1,0} + \beta_4 \lambda^6 r_{1,1} - 8 \alpha_2 \lambda^4 r_{1,0}.
 \end{aligned}$$

Результаты расчета в первых двух приближениях при $\sigma_x^\infty = \sigma_y^\infty = q$ даны в таблице, где $a_* = 2B$. На фиг. 1 представлены зависимости параметра λ от величины приложенной нагрузки q/σ_s , при $p = 0$ для некоторых значений радиуса отверстия $R = 0,5; 0,4; 0,3; 0,2; 0,1$ (кривые 1—5).

Положив в (10) $\zeta = \lambda e^{i\theta}$, получим уравнение упругопластической границы

$$r = |\omega(\lambda e^{i\theta})| = f(\theta).$$

В первом приближении

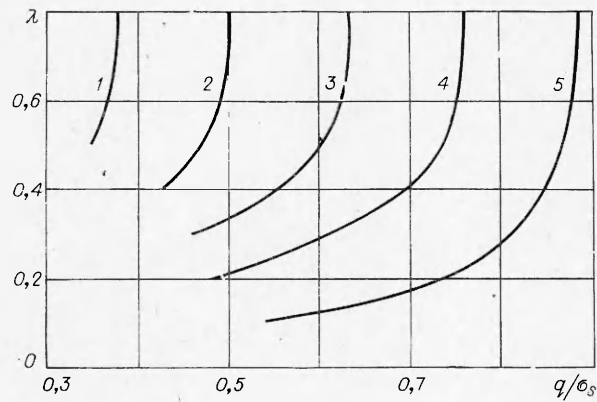
$$r^2 = \lambda^2 (d + 2d_1 \cos 2\theta).$$

При этом

$$\begin{aligned}
 (11) \quad r_{\max} &= \lambda \left[1 + A_2 \left(-1 + \lambda^2 \sum_{j=0}^{\infty} \frac{r_{j,0}}{2j+1} \lambda^{2j} \right) \right]; \\
 r_{\min} &= \lambda \left[1 + A_2 \left(1 + \lambda^2 \sum_{j=0}^{\infty} \frac{(-1)^j r_{j,0}}{2j+1} \lambda^{2j} \right) \right].
 \end{aligned}$$

На фиг. 2 упругопластическая граница представлена для случая $R = 0,3$, $p = 0$, $q/\sigma_s = 0,627$ ($\lambda = 0,7$, $r_{\max} = 0,85$, $r_{\min} = 0,419$).

Из условия $r_{\min} \geq R$ определяется наименьшая нагрузка, при которой контур отверстия целиком охватывается пластической зоной. Соотношение (11) при $r_{\max} \leq 1$ позволяет найти наибольшую нагрузку, при которой пластические зоны касаются одна другой. До сих пор предполагалось, что нагрузка p удовлетворяет неравенству $0 \leq p \leq \sigma_s$.



Фиг. 1

λ	0,2	0,3	0,4	0,5	0,6	0,7	0,8
<i>Первое приближение</i>							
β_2/α_*	2,50727	4,68841	1,29244	1,06681	0,92563	0,83308	0,77382
β_4/α_*	-0,07198	-0,09189	-0,40138	-0,40706	-0,41571	-0,43044	-0,44761
A_2	-0,05883	-0,11561	-0,47187	-0,22093	-0,25889	-0,28991	-0,3452
α_2/a	0,07533	0,10157	0,41876	0,12848	0,13271	0,13273	0,14041
b	5,01421	3,37443	2,58053	2,42735	1,85017	1,67710	1,57037
b_1	-0,30073	-0,40774	-0,48074	-0,52512	-0,56103	-0,60252	-0,62044
<i>Второе приближение</i>							
β_2/a_*	2,50727	4,68841	1,29249	1,06696	0,92584	0,83377	0,77478
β_4/a_*	-0,07198	-0,09197	-0,10147	-0,10755	-0,11686	-0,13224	-0,15362
β_6/a_*	0,04456	0,03887	0,06877	0,09723	0,12270	0,15036	0,18855
A_2	-0,05883	-0,11568	-0,47291	-0,22288	-0,26556	-0,29878	-0,32379
A_4	-0,00576	-0,02163	-0,04516	-0,06745	-0,08735	-0,11922	-0,18572
α_2/a_*	0,07533	0,10161	0,11893	0,12873	0,13448	0,13853	0,14297
α_4/a_*	-0,00089	-0,00268	-0,00572	-0,01013	-0,01548	-0,02051	-0,02361
b	5,01421	3,37446	2,58064	2,42381	1,85116	1,67844	1,57724
b_1	-0,30073	-0,40783	-0,48082	-0,52527	-0,56307	-0,60706	-0,66258
b_2	0,00356	0,01066	0,02256	0,03929	0,05821	0,07292	0,07486

Пусть теперь нагрузка p изменяется в пределах $0 \geq p \geq -\sigma_s$. В этом случае напряжения в пластической зоне при условии текучести Треска—Сен-Венана определяются формулами [6] при $R \leq r \leq R \exp(-p/\sigma_s)$

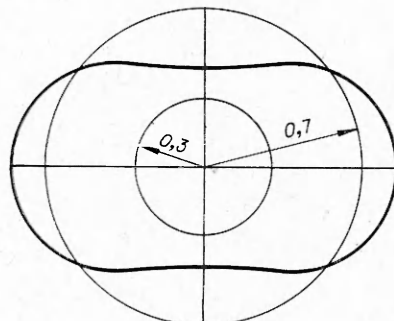
$$\sigma_r = p + \sigma_s \ln(r/R), \quad \tau_{r\theta} = 0,$$

$$\sigma_\theta = p + \sigma_s + \sigma_s^2 \ln(r/R), \quad \sigma_\theta - \sigma_r = \sigma_s;$$

при $r \geq R \exp(-p/\sigma_s)$

$$\sigma_r = \sigma_s - (\sigma_s/r)R \exp(-p/\sigma_s),$$

$$\sigma_\theta = \sigma_s, \quad \tau_{r\theta} = 0.$$



Фиг. 2

Отметим, что все полученные ранее решения упругопластической задачи будут справедливы в этом случае лишь при условии, что упругопластическая граница целиком охватывает круг радиуса $R \exp(-p/\sigma_s)$. При этом везде в решениях достаточно формально заменить p на нуль, а R на $R \exp(-p/\sigma_s)$.

Автор благодарит Л. А. Галина и Г. П. Черепанова за внимание к работе.

Поступила 20 XI 1975

ЛИТЕРАТУРА

- Шерман Д. И. Метод интегральных уравнений в плоских и пространственных задачах статической теории упругости.— В кн.: Труды Всесоюз. съезда по теорет. и прикладной механике. М.—Л., Изд-во АН СССР, 1962.
- Григорьев Э. И., Фильшинский А. А. Перфорированные пластины и оболочки. М., «Наука», 1970.
- Черепанов Г. П. Об одном методе решения упругопластической задачи.— ПММ, 1963, т. 27, вып. 3.
- Хома И. Ю. Концентрация напряжений в тонкой пластине, ослабленной бесконечным числом круговых отверстий, при упругопластических деформациях.— В кн.: Труды IV Всесоюз. конф. по теории оболочек и пластин. Ереван, 1964.
- Мирсалимов В. М., Мехти-заде Э. М. Упругопластическая задача для тонкой пластины, ослабленной бесконечным рядом круговых отверстий.— В кн.: Исследования по некоторым вопросам конструктивной теории функций и дифференциальных уравнений. Баку, изд. Азинефтехима, 1973.
- Соколовский В. В. Теория пластичности. М., «Высш. школа», 1969.
- Мухелишвили И. И. Некоторые основные задачи математической теории упругости. Изд. 5. М., «Наука», 1966.